

<b>Zeitschrift:</b>	Bulletin des Schweizerischen Elektrotechnischen Vereins, des Verbandes Schweizerischer Elektrizitätsunternehmen = Bulletin de l'Association suisse des électriciens, de l'Association des entreprises électriques suisses
<b>Herausgeber:</b>	Schweizerischer Elektrotechnischer Verein ; Verband Schweizerischer Elektrizitätsunternehmen
<b>Band:</b>	66 (1975)
<b>Heft:</b>	24
<b>Artikel:</b>	Untersuchungen über den Einfluss von unsymmetrischen Netzspannungen auf die Mess- und Prüfschaltungen von Drehstrom-Elektrizitätszählern
<b>Autor:</b>	Tschappu, F.
<b>DOI:</b>	<a href="https://doi.org/10.5169/seals-915331">https://doi.org/10.5169/seals-915331</a>

#### Nutzungsbedingungen

Die ETH-Bibliothek ist die Anbieterin der digitalisierten Zeitschriften auf E-Periodica. Sie besitzt keine Urheberrechte an den Zeitschriften und ist nicht verantwortlich für deren Inhalte. Die Rechte liegen in der Regel bei den Herausgebern beziehungsweise den externen Rechteinhabern. Das Veröffentlichen von Bildern in Print- und Online-Publikationen sowie auf Social Media-Kanälen oder Webseiten ist nur mit vorheriger Genehmigung der Rechteinhaber erlaubt. [Mehr erfahren](#)

#### Conditions d'utilisation

L'ETH Library est le fournisseur des revues numérisées. Elle ne détient aucun droit d'auteur sur les revues et n'est pas responsable de leur contenu. En règle générale, les droits sont détenus par les éditeurs ou les détenteurs de droits externes. La reproduction d'images dans des publications imprimées ou en ligne ainsi que sur des canaux de médias sociaux ou des sites web n'est autorisée qu'avec l'accord préalable des détenteurs des droits. [En savoir plus](#)

#### Terms of use

The ETH Library is the provider of the digitised journals. It does not own any copyrights to the journals and is not responsible for their content. The rights usually lie with the publishers or the external rights holders. Publishing images in print and online publications, as well as on social media channels or websites, is only permitted with the prior consent of the rights holders. [Find out more](#)

**Download PDF:** 27.01.2026

**ETH-Bibliothek Zürich, E-Periodica, <https://www.e-periodica.ch>**

# Untersuchungen über den Einfluss von unsymmetrischen Netzspannungen auf die Mess- und Prüfschaltungen von Drehstrom-Elektrizitätszählern

Von F. Tschappu

Nach einem kurzen Überblick über die auf dem europäischen Kontinent gebräuchlichen Schaltungen der Drehstrom-Elektrizitätszählern wird der Einfluss der unsymmetrischen Spannungen auf die Messeigenschaften bei Wirk- und Blindlastmessungen untersucht. In einem weiteren Kapitel werden die Messeigenschaften der Zähler beeinflussenden Randbedingungen angegeben, wenn die Prüflinge im Netz mit transportablen Eichzählern geprüft werden, die sich in ihrer Schaltung voneinander unterscheiden.

Die Untersuchungen haben ergeben, dass alle gebräuchlichen Eichzählerschaltungen zur Überprüfung der Wirklastzähler im Netz unabhängig von der Unsymmetrie in den Netzspannungen bei symmetrischer und einseitiger Belastung richtig messen.

Die gebräuchlichen Eichzähler-Schaltungen zur Überprüfung der Blindlastzähler mit  $60^\circ$ ,  $90^\circ$  bzw.  $180^\circ$  Abgleich messen bei allseitiger Belastung auch bei unsymmetrischem Spannungsdreieck annähernd richtig. Bei 1-seitigen Messungen sind messbare Zusatzfehler zu erwarten, wenn sich die Schaltungen von Prüfling und Eichzähler unterscheiden. Diese Zusatzfehler sind u. a. von der Grösse der Unsymmetrie im Spannungsdreieck abhängig.

621.316.313 : 621.317.785.025

Après un bref aperçu des montages des compteurs de courant triphasé en Europe continentale, l'auteur examine l'influence des tensions asymétriques sur les propriétés des mesures de charges actives ou réactives. Les conditions marginales qui exercent une influence sur les propriétés de mesure des compteurs sont ensuite indiquées dans le cas des compteurs contrôlés dans le réseau au moyen de compteurs-étalons transportables, dont le montage est différent.

Ces essais ont montré que tous les montages usuels des compteurs-étalons, servant au contrôle des compteurs d'énergie active dans le réseau, mesurent correctement, indépendamment de l'asymétrie des tensions du réseau, à condition que la charge soit symétrique et unilatérale.

Les montages usuels des compteurs-étalons servant au contrôle des compteurs d'énergie réactive, avec compensation à  $60^\circ$ ,  $90^\circ$  ou  $180^\circ$ , mesurent à peu près correctement dans le cas de charge des deux côtés, également quand le triangle des tensions n'est pas symétrique. Dans le cas de mesures unilatérales, il faut s'attendre à des erreurs additionnelles mesurables lorsque les montages du compteur à contrôler et du compteur-étalon sont différents. Ces erreurs dépendent notamment de l'importance de l'asymétrie dans le triangle des tensions.

## 1. Beschreibung der auf dem europäischen Kontinent gebräuchlichen Schaltungen der im Netz eingesetzten Drehstrom-Elektrizitätszählern

### 1.1 Zur Messung der Wirklast

Die Belastung sei ohmisch-induktiv angenommen mit dem Phasenwinkel  $-\varphi^1)$ .

#### 1.1.1 Aronschaltung mit 2 Messwerken für 3 P-Netze Schaltung der Messwerke s. Fig. 1

##### Randbedingungen:

Die richtige Messung der Wirklast im 3P-Netz mit Zählern in Aronschaltung setzt voraus, dass die Summe aller 3 Phasenströme stets gleich Null sein muss. Bei der Messung von 1-phasigen verketteten Belastungen ist diese Bedingung automatisch erfüllt.

Zu beachten ist, dass an der Messung 1-phasiger Belastung zwischen R und T beide Messwerke des Zählers mit unterschiedlichen Phasenwinkeln  $\varphi - 60$  und  $\varphi + 60$  beteiligt sind.

#### 1.1.2 Schaltung mit 3 Messwerken für 3 P-Netze

Im Falle eines Erdschlusses in der Phase S fliessen Erdströme, wenn der Sternpunkt des Generators geerdet ist. Diese Erdschlussleistung wird vom Aronzähler nicht gemessen. Deshalb werden in 3P-Netzen vielfach Zähler mit 3 Messwerken eingesetzt. Sind sie ohne Spannungswandler oder über 2 Spannungswandler in V-Schaltung ans Netz angeschlossen, so werden die 3 Spannungspulen zu einem freien Sternpunkt geführt. Das Potential des Sternpunktes wird durch die 3 Impedanzen der Spannungspfade der Messwerke gebildet. Sind die 3 Messwerke über 3 Spannungswandler in Sternschaltung an das Netz angeschlossen, so kann der sekundärseitige Sternpunkt der Wandler mit dem Sternpunkt des Zählers verbunden werden [2]<sup>2)</sup>.

Die Schaltung der Messwerke zeigt Fig. 2.

<sup>1)</sup> Der positive Drehsinn der Vektoren in der Gaußschen TafelEbene entspricht dem Gegenurzeigersinn (zeitlich voreilend). Deshalb muss der Phasenwinkel für ohmisch-induktive Belastung mit einem negativen Vorzeichen bezeichnet werden. Dieses Vorzeichen ist speziell in der Vektorendarstellung der verschiedenen Zählerschaltungen nach den Fig. 1...6 zu beachten.

<sup>2)</sup> Siehe Literatur am Schluss des Aufsatzes.

Zu beachten ist, dass an der Messung 1-phasiger verketteter Belastung stets 2 Messwerke mit unterschiedlichen Phasenwinkeln  $\varphi + 30$  und  $\varphi - 30$  beteiligt sind.

##### Randbedingungen:

Eine  $n$ -phasige Belastung kann entweder mit  $n$  Messwerken oder nach dem Theorem von Blondel mit  $n-1$  Messwerken gemessen werden. Deshalb müssen keine speziellen Symmetriebedingungen an den freien Sternpunkt im Spannungsdreieck gestellt werden.

#### 1.1.3 Schaltung mit 3 Messwerken für 3 P+0-Netze

Zur richtigen Messung der Wirklast im 3P + 0-Netz sind Zähler mit 3 Messwerken notwendig. Die in den USA übliche  $2\frac{1}{2}$ -Element-Schaltung misst im 3P + 0-Netz nur unter bestimmten Symmetriebedingungen richtig und wird auf dem europäischen Kontinent nicht verwendet.

Die Schaltung der Messwerke ist in Fig. 3 wiedergegeben.

Diese Schaltung misst unabhängig von Unsymmetrien in Spannung und Strom stets richtig.

### 1.2 Zur Messung der Blindlast; phasenfolge-abhängig

Für diese Art der Blindlastmessung werden normale Wirklast-Messwerke verwendet, deren Spannungspulen an phasenfremde Spannungen geschaltet sind. Die Spannung am Messwerk muss gegenüber der Spannung im Netz um  $90^\circ$  in der Phase verschoben sein, damit die Blindlast im Netz gemessen wird. Deshalb ist diese Art von Blindlastmessung abhängig von der Anschlussfolge der Messwerke an das Netz.

Die Belastung sei ohmisch-induktiv mit dem Phasenwinkel  $-\varphi$ .

#### 1.2.1 Aronschaltung mit 2 Messwerken ( $60^\circ$ Abgleich) für 3 P-Netze (Tabelle I und Fig. 4)

Im 3P-Netz sind nur die verketteten Spannungen vorhanden. Die Spannungspfade der Messwerke müssen in diesem Falle an je eine um  $120^\circ$  gegenüber der Netzzspannung verdrehte Spannung geschaltet werden. Durch Vorschalten eines Ohmschen Widerstandes  $R_V$  vor die Spannungspulen wird die Spannung am Messwerk  $U_Z$  um  $30^\circ$  zurückverschoben. Bei dieser Schaltung werden deshalb Messwerke mit  $60^\circ$  Abgleich benötigt.

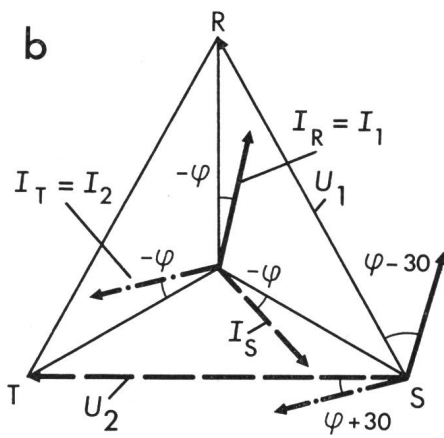
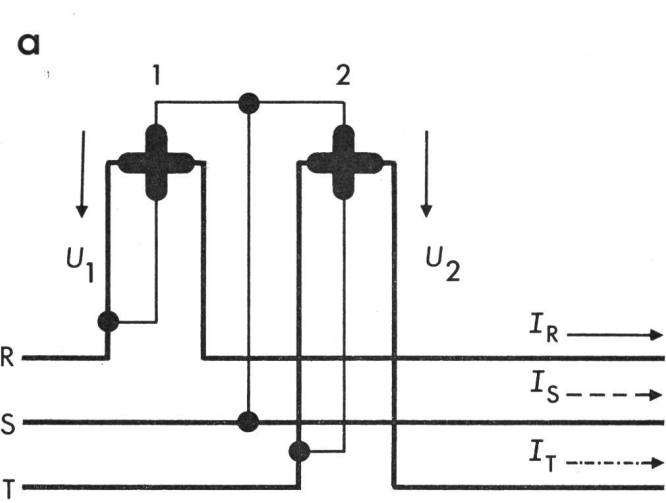


Fig. 1 3P-Aronschaltung für Wirklast

2 Messwerke

a Schalschema

b Vektordiagramm für allseitige Belastung

1, 2 Messwerke

$U_1, U_2$  Spannungen an den Messwerken

$I_R, I_S, I_T$  Phasenströme

$\varphi$  Netzphasenwinkel

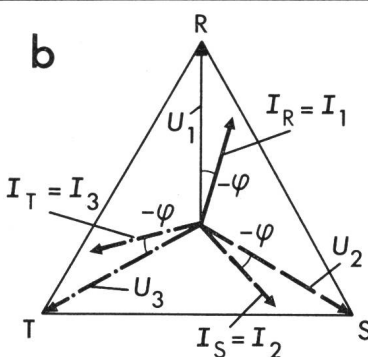
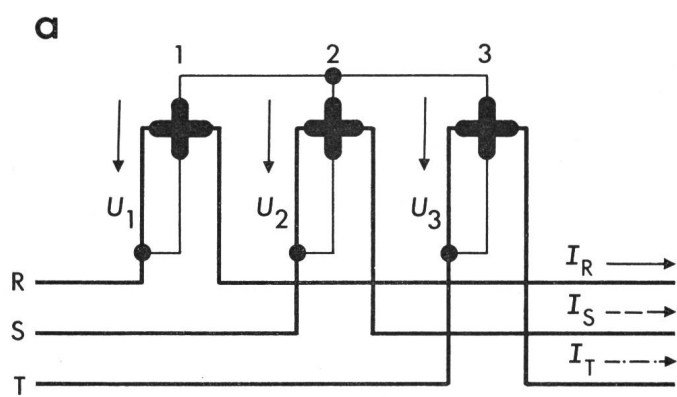


Fig. 2 3P-Schaltung für Wirklast

3 Messwerke

a Schalschema

b Vektordiagramm für allseitige Belastung

1, 2, 3 Messwerke

$U_1, U_2, U_3$  Spannungen an den Messwerken

$I_1, I_2, I_3$  Phasenströme

$\varphi$  Netzphasenwinkel

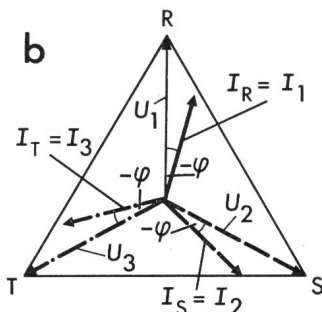
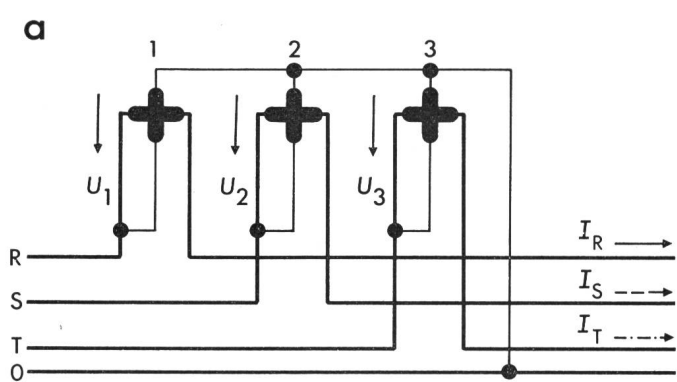


Fig. 3 3P + 0-Schaltung für Wirklast

3 Messwerke

Bezeichnungen siehe Fig. 2

### Randbedingungen:

Da die Messwerke der Zähler mit phasenfremden Spannungen gespiesen werden, müssen sie in der vorgeschriebenen Phasenfolge an das Netz angeschlossen werden.

Die richtige Messung der Blindlast im 3P-Netz mit Zählern in Aronschaltung setzt voraus, dass die Summe aller 3 Phasenströme stets gleich Null ist. Bei der Messung 1-phasiger verketteter Belastungen ist diese Bedingung automatisch erfüllt.

An die Symmetrie des Spannungsdreiecks müssen ebenfalls bestimmte Anforderungen gestellt werden. Dieser Einfluss hängt stark von der Art der Belastung ab. Bei *allseitiger Belastung* ist der Zusatzfehler bei gegebener Spannungsunsymmetrie unabhängig vom Netzphasenwinkel  $\varphi$ . Die Auswirkungen der Spannungsunsymmetrie auf das Messverhalten der Blindverbrauchzähler wurde in [1] auf Grund von Messungen im Netz eingehend untersucht. Die Resultate haben ergeben, dass die allseitige Belastung bei unsymmetrischem Spannungsdreieck mit praktisch vernachlässigbaren Zusatzfehlern gemessen wird.

Der Einfluss der unsymmetrischen Netzzspannung auf die Messgenauigkeit macht sich bei *1-phasiger Belastung* in viel stärkerem Maße bemerkbar, da sich die Fehlereinflüsse der einzelnen Phasen nicht wie bei der allseitigen Belastung weitgehend kompensieren. Deshalb sind im allgemeinen wesentlich grössere Zusatzfehler zu erwarten.

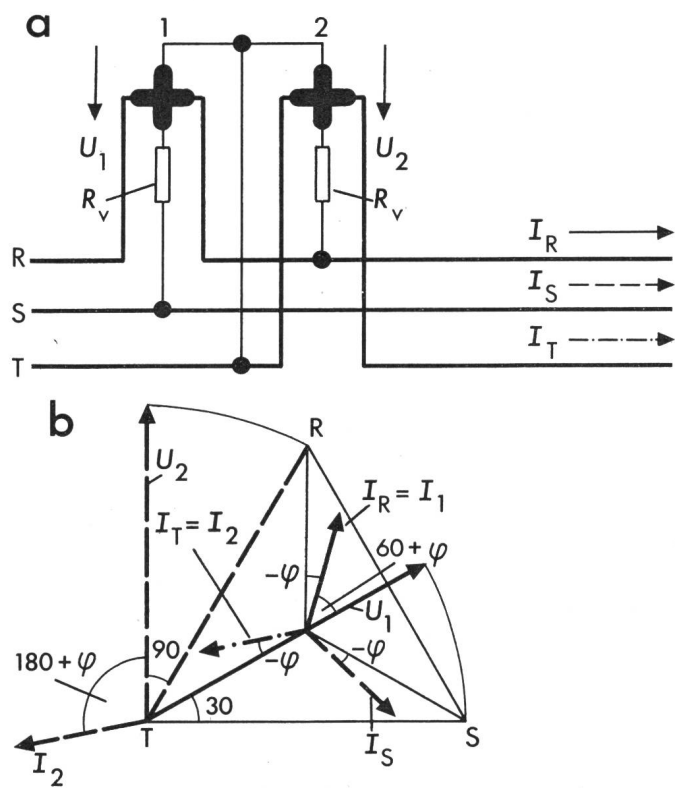


Fig. 4 3P-Aronschaltung für phasen-abhängige Messung der Blindlast

2 Messwerke

a Schaltschema

b Vektordiagramm für allseitige Belastung

1, 2 Messwerke

$U_1, U_2$  Spannungen an den Messwerken (hinter  $R_v$ )

$R_v$  Vorwiderstand zu den Spannungsspulen der Messwerke

$I_R, I_S, I_T$  Phasenströme

$\varphi$  Netzphasenwinkel

Tabelle I

Netzlast	Schaltung Messwerke				Zählerlast			
	Messwerk 1	Messwerk 2			Messwerk 1	Messwerk 2		
	$U_N$	$I_N$	Phasenwinkel	$Q_N$		$Q_1$	$Q_2$	$Q_z = \sum_{i=1}^2 Q_i$
allseitig	$RST = U_v$	$RST = I$	$RST = I$	$RST = I$	$(TS) \cdot e^{j30}$	$R = U_v$	$R = I$	$120 + \varphi$
einseitig R-S	$SR = U_v$	$R = I$	$R = I$	$R = I$	$(TS) \cdot e^{j30}$	$R = U_v$	$R = I$	$U_v I \sin \varphi$
einseitig S-T	$TS = U_v$	$T = I$	$T = I$	$T = I$	$-$	$(TR) \cdot e^{j30}$	$T = -I$	$U_v I \sin \varphi$
einseitig T-R	$RT = U_v$	$R, T, I, I = U_v$	$R, T, I, I = U_v$	$R, T, I, I = U_v$	$(TS) \cdot e^{j30}$	$R = U_v$	$T = I$	$U_v I \sin \varphi$
					$(TR) \cdot e^{j30}$	$R = U_v$	$T = I$	$U_v I \sin \varphi$
						$30 + \varphi$	$150 + \varphi$	$U_v I \cos(30 + \varphi)$
						$30 + \varphi$	$150 + \varphi$	$U_v I \cos(150 + \varphi)$
						$90 + \varphi$	$90 + \varphi$	$U_v I \cos(90 + \varphi)$
						$-$	$-$	$-$
						$U_v I \cos(60 + \varphi)$	$U_v I \cos(120 + \varphi)$	$\sqrt{3} U_v I \sin \varphi^2$

Bezeichnungen siehe Fig. 4

1)  $e^{j30}$  dreht den Vektor um  $30^\circ$  el in +Richtung

2)  $\cos(60 + \varphi) + \cos(120 + \varphi) = \sqrt{3} \sin \varphi$

3)  $\cos(30 + \varphi) + \cos(150 + \varphi) = \sin \varphi$

### 1.2.2 Schaltung mit 3 Messwerken (90° Abgleich) für 3P-Netze (Tabelle II und Fig. 5)

Für die Messung der Wirklast nach 1.1.2 werden die Spannungsspulen der Messwerke an die Nulleiterspannungen geschaltet<sup>1)</sup>. Zur Messung der Blindlast müssen die Spannungsspulen der Messwerke an je eine gegenüber der Netzspannung um 90° verschobene Spannung geschaltet werden. Das sind die verkettenen Spannungen. Deshalb können Zähler mit 3 Messwerken ohne zusätzliche Massnahmen für die Messung der Blindlast gebraucht werden.

Zur Berechnung der Zähler-Konstanten in Umdrehung pro kvarh muss aber die im Netz fliessende Blindlast  $Q = 3 UI$  bei  $\sin \varphi = 1$  zugrunde gelegt werden. Deshalb taucht in den Gleichungen für die Zählerlast in Tabelle II für  $Q_1$ ,  $Q_2$  und  $Q_3$  stets der Faktor  $1/\sqrt{3}$  auf.

#### Randbedingungen:

Da die Messwerke der Zähler mit phasenfremden Spannungen gespiesen werden, müssen sie in der vorgeschriebenen Phasenfolge ans Netz angeschlossen werden.

An die Symmetrie des Spannungsdreiecks müssen ebenfalls bestimmte Anforderungen gestellt werden. Hier gelten die gleichen Überlegungen, wie sie im Abschnitt 1.2.1 formuliert wurden.

<sup>1)</sup> Wobei der Sternpunkt durch die 3 Impedanzen der Spannungskreise frei gebildet wird.

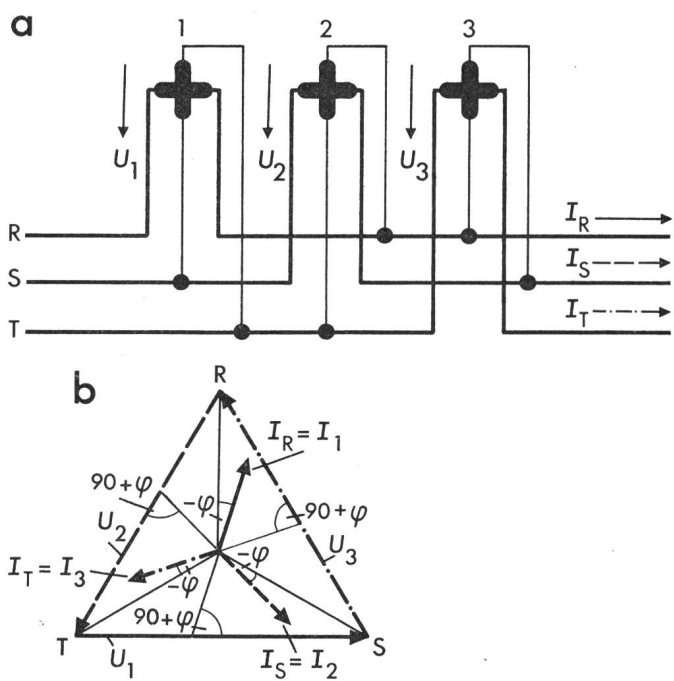


Fig. 5 3P-Schaltung für phasen-abhängige Messung der Blindlast

3 Messwerke

a Schaltschema

b Vektordiagramm für allseitige Belastung

1, 2, 3 Messwerke

$U_1, U_2, U_3$  Spannungen an den Messwerken

$I_R, I_S, I_T$  Phasenströme

$\varphi$  Netzphasenwinkel

Tabelle II

Netzlast	Schaltung Messwerke						Zählerlast											
	Messwerk 1			Messwerk 2														
	$U_N$	$I_N$	Phasenwinkel	$U_1$	$I_1$	Phasenwinkel	$U_2$	$I_2$	Phasenwinkel	$U_3$	$I_3$	Phasenwinkel	$Q_1$	$Q_2$	$Q_3$	Messwerk 1	Messwerk 2	Messwerk 3
allseitig	RST $= U_v$	RST $= I$	$-\varphi$	$\sqrt{3} U_v I \sin \varphi$	TS $= U_v$	$90 + \varphi$	RT $= U_v$	S $= I$	$90 + \varphi$	SR $= U_v$	T $= I$	$90 + \varphi$	$\frac{1}{\sqrt{3}} U_v I \cos(90 + \varphi)$	$\frac{1}{\sqrt{3}} U_v I \cos(90 + \varphi)$	$\frac{1}{\sqrt{3}} U_v I \cos(90 + \varphi)$	$\sqrt{3} U_v I \sin \varphi$	$\sqrt{3} U_v I \cos(90 + \varphi)$	$\sqrt{3} U_v I \cos(90 + \varphi)$
einseitig R-S	SR $= U_v$	R $= I$	$-\varphi$	$U_v I \sin \varphi$	TS $= U_v$	$120 + \varphi$	RT $= U_v$	S $= -I$	$60 + \varphi$	—	—	—	$\frac{1}{\sqrt{3}} U_v I \cos(120 + \varphi)$	$\frac{1}{\sqrt{3}} U_v I \cos(60 + \varphi)$	$\frac{1}{\sqrt{3}} U_v I \cos(60 + \varphi)$	$U_v I \sin \varphi$	$U_v I \sin \varphi$	$U_v I \sin \varphi$
einseitig S-T	TS $= U_v$	S $= I$	$-\varphi$	$U_v I \sin \varphi$	—	—	RT $= U_v$	S $= I$	$120 + \varphi$	SR $= U_v$	T $= -I$	$60 + \varphi$	$\frac{1}{\sqrt{3}} U_v I \cos(120 + \varphi)$	$\frac{1}{\sqrt{3}} U_v I \cos(120 + \varphi)$	$\frac{1}{\sqrt{3}} U_v I \cos(120 + \varphi)$	$U_v I \sin \varphi$	$U_v I \sin \varphi$	$U_v I \sin \varphi$
einseitig T-R	RT $= U_v$	T $= I$	$-\varphi$	$U_v I \sin \varphi$	TS $= U_v$	$60 + \varphi$	—	—	—	SR $= U_v$	T $= I$	$120 + \varphi$	$\frac{1}{\sqrt{3}} U_v I \cos(60 + \varphi)$	$\frac{1}{\sqrt{3}} U_v I \cos(60 + \varphi)$	$\frac{1}{\sqrt{3}} U_v I \cos(60 + \varphi)$	$U_v I \sin \varphi$	$U_v I \sin \varphi$	$U_v I \sin \varphi$

$$1) \cos(90 + \varphi) = \sin \varphi$$

$$2) \cos(120 + \varphi) + \cos(60 + \varphi) = \sqrt{3} \sin \varphi$$

### 1.2.3 Schaltung mit 3 Messwerken (90° Abgleich) für 3 P+0-Netze (Tabelle III und Fig. 6)

Für diese Schaltung gelten dieselben Bemerkungen wie im Abschnitt 1.2.2. Auch die Randbedingungen sind dieselben.

Bezüglich der Anforderungen an die Symmetrie des Spannungsdreiecks gelten auch hier dieselben Überlegungen, wie sie im Abschnitt 1.2.1 formuliert wurden.

#### 1.3 Zur Messung der Blindlast, phasenfolge-unabhängig

Im Gegensatz zu den im Abschnitt 1.2 beschriebenen Messmethoden werden bei der phasenfolge-unabhängigen Methode spezielle Messwerke benötigt, bei denen die zusätzliche Phasendrehung von 90° im Messwerk selber erzeugt wird. Der innere Abgleich beträgt 180°.

Durch Vorschalten eines Widerstandes  $R_v$  an die Spannungsspule wird die Spulenspannung  $U_z$  gegenüber der Netzspannung  $U_N$  um den Winkel  $\alpha$  vorverschoben und durch Parallelschalten eines Shuntens  $R_{NS}$  zur Stromspule, der Spulenstrom  $I_z$  um den Winkel  $\beta$  nacheilend verschoben. Bedingung für 180° Abgleich ist:  $\alpha + \beta = 90^\circ$

Die Messgenauigkeit dieser Zähler ist *unabhängig* von der Anschlussfolge der Messwerke an die Netzspannungen. Die Blindlast wird unabhängig von Spannungsunsymmetrien im Netz richtig gemessen.

Diese Art von Blindlastzählern werden gleich wie die entsprechenden Schaltungen der Wirkverbrauchzähler gemäß 1.1 angeschlossen. Trotzdem die Messmethode zur phasenfolge-unabhängigen Messung der Blindlast gegenüber der in Abschnitt 1.2 behandelten Methode scheinbar wesentliche Vorteile aufweist, geht heutzutage der Trend eindeutig in Richtung der phasenfolge-abhängigen Messung nach Abschnitt 1.2. Dies hat 2 Gründe:

- Die in [1] zitierten Netzuntersuchungen haben relativ kleine Netzverzerrungen ergeben. Die Theorie beweist, dass bei diesen kleinen Netznusymmetrien die allseitige Messung der Blindlast praktisch

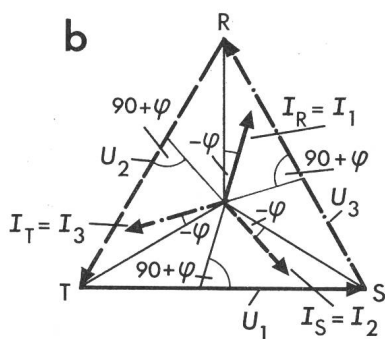
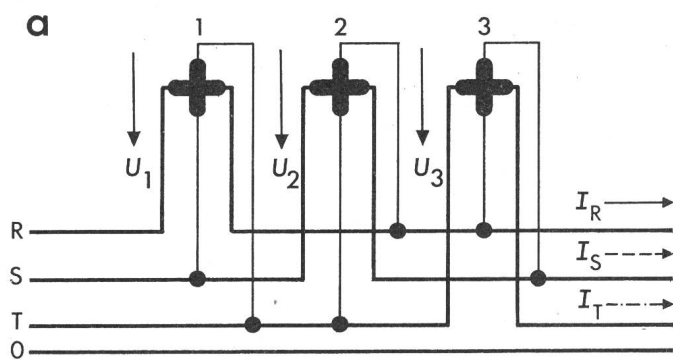


Fig. 6 3P+ Null-Schaltung für phasen-abhängige Messung der Blindlast  
3 Messwerke  
Bezeichnungen siehe Fig. 5

Tabelle III

Zählerlast	Schaltung Messwerke			Zählerlast
	Messwerk 1	Messwerk 2	Messwerk 3	
	$U_1$	$I_1$	Phasenwinkel	
allseitig	RSTO $= U$	RST $= I$	$TS = U_v$	$\frac{1}{\sqrt{3}} U_v I \cos(90 + \varphi)$
einseitig O-R	OR $= U$	R $= I$	$TS = U_v$	$\frac{1}{\sqrt{3}} U_v I \sin\varphi$
einseitig O-S	OS $= U$	S $= I$	$TS = U_v$	$\frac{1}{\sqrt{3}} U_v I \sin\varphi$
einseitig O-T	OT $= U$	T $= I$	$TS = U_v$	$\frac{1}{\sqrt{3}} U_v I \sin\varphi$
	$U_N$	$I_N$	Phasenwinkel	
				$Q_z = \sum_1^3 Q$

Messung der Blindlast phasenfolge-abhängig (Schaltung mit 3 Messwerken mit 90° Abgleich für 3P+0-Netze)

1)  $\cos(90 + \varphi) = \sin\varphi$   
2)  $U = \frac{1}{\sqrt{3}} U_v$

Prüfling Netz	3 P-Aronschaltung, 2 Messwerke (Fig. 1)		3 P-Schaltung, 3 Messwerke (Fig. 2)		3 P + 0-Schaltung, 3 Messwerke (Fig. 3)	
	$\Delta$ 3-Leiternetz		$\Delta$ 3-Leiternetz		$\lambda$ 4-Leiternetz	
	Normal	symmetrische Last	einseitige Last	symmetrische Last	einseitige Last	symmetrische Last
Eichzähler 3 P-Aronschaltung 2 Messwerke Randbedingungen	Fig. 1 keine	keine	Fig. 1 $\sum I = 0$	keine	Aronschaltung nicht anwendbar	
Eichzähler 3 P-Schaltung 3 Messwerke Randbedingungen	Fig. 2 $\sum I = 0$	keine	Fig. 2 keine	keine	Fig. 3 keine	keine

Prüfling Netz	2 Messwerke, $60^\circ$ Abgleich (Fig. 4)		3 Messwerke, $90^\circ$ Abgleich (Fig. 5)		3 Messwerke, $90^\circ$ Abgleich (Fig. 6)	
	$\Delta$ 3-Leiternetz		$\Delta$ 3-Leiternetz		$\lambda$ 4-Leiternetz	
	Normal	symmetrische Last	einseitige Last	symmetrische Last	einseitige Last	symmetrische Last
Eichzähler 1) Schaltung nach 1.2.1 3 P-Aronschaltung 2 Messwerke, $60^\circ$ Abgleich Randbedingungen	Fig. 4 keine	2) keine	2) $\sum I = 0$	Fig. 4 $\sum I = 0$	symmetrisches Spannungs- $\Delta$	Aronschaltung nicht anwendbar
Eichzähler 1) Schaltung nach 1.2.2 3 P-Schaltung 3 Messwerke, $90^\circ$ Abgleich Randbedingungen	Fig. 5 $\sum I = 0$		2) symmetrisches Spannungs- $\Delta$	Fig. 5 keine	2) keine	Fig. 6 keine
Eichzähler Schaltung nach 1.1.1 3 P-Aronschaltung 2 Messwerke, $180^\circ$ Abgleich Randbedingungen	Fig. 1 keine		Fig. 1 symmetrisches Spannungs- $\Delta$	Fig. 1 $\sum I = 0$	symmetrisches Spannungs- $\Delta$	Aronschaltung nicht anwendbar
Eichzähler Schaltung nach 1.1.2 3 P-Schaltung 3 Messwerke, $180^\circ$ Abgleich Randbedingungen	Fig. 2 $\sum I = 0$		Fig. 2 symmetrisches Spannungs- $\Delta$	Fig. 2 keine	symmetrisches Spannungs- $\Delta$	Fig. 3 keine
						symmetrisches Spannungs- $\Delta$ Nullpunkt im Zentrum des $\Delta$

1) Anschluss der Zähler in der richtigen Phasenfolge an die Netzspannung.

2) Voraussetzung: Prüflings- und Eichzählermesswerke an die gleichen Phasen geschaltet.

fehlerlos ist. Bei einseitiger Last können wohl momentan messbare Zusatzfehler auftreten, die sich aber über eine Ableseperiode mehr oder weniger ausmitteln.

b) Der Blindlastzähler für phasenfolge-unabhängige Messung hat gegenüber dem vergleichbaren Wirklastzähler schlechtere Mess-eigenschaften und wesentlich grösseren Leistungsbedarf im Spannungs- und Stromkreis, welcher zum grossen Teil im Shunt und Vor-widerstand in Wärme umgesetzt wird. Dadurch ist die maximale Überlastbarkeit auf 200 %  $I_n$  beschränkt. Will man mit einem kombinierten Meßsatz sowohl Wirk- als auch Blindlast messen, so ist die beschränkte Überlastbarkeit der Blindlastzähler von Nachteil.

Blindlastzähler für phasenfolge-abhängige Messung nach Ab-schnitt 1.2 sind im Prinzip Wirklastzähler, die nur durch eine spezielle Schaltung im Netz die Blindlast messen. Ihre sonstigen Mess-eigenschaften sind identisch mit den vergleichbaren Wirklastzählern.

## 2. Prüfschaltungen

Müssen die Messeigenschaften von Elektrizitätszählern über-prüft werden, so benötigt man Vergleichsinstrumente. Üblicher-weise stehen zu diesem Zwecke zur Verfügung:

- a) Induktions-Eichzähler;
- b) Statische Eichzähler;
- c) Leistungsmesser und Zeitnormal.

Die Prüfmethoden nach a) und b) sind reine Vergleichs-methoden und benötigen keine konstante Leistung während

dem Messvorgang. Im Gegensatz dazu benötigt die Leistungs-Zeit-Methode nach c) eine konstante Spannungsquelle.

Müssen Elektrizitätszähler im Netz geprüft werden, so steht keine konstante Spannungsquelle zur Verfügung, so dass für diesen Anwendungsfall nur eine Vergleichsmethode nach a) oder b) in Frage kommt.

Je nach der Art der zu prüfenden Zähler im Netz werden Eichzähler für die Messung der Wirk- oder Blindlast benötigt. Neben den bisher üblichen Ferraris-Eichzählern mit rotieren-der Triebsscheibe werden heutzutage in vermehrtem Masse statische Eichzähler für Kontrollen im Netz eingesetzt. Infolge der rein statischen Bauweise eignet sich dieser Zähler besonders gut für mobilen Einsatz.

Für die Kontrolle der Blindlast-Aronzähler mit 60° Ab-gleich in 3 P-Netzen nach Abschnitt 1.2.1 muss vor den Span-nungskreis der statischen Eichzähler ein Phasendrehglied ge-schaltet werden, welches die Ausgangsspannung gegenüber der Eingangsspannung bei gleichem Betrag um 30° zeitlich vor-verschiebt.

Für die Kontrolle der Blindlastzähler für phasenfolge-unabhängig-e Messung der Blindlast nach Abschnitt 1.3 muss vor den Spannungskreis der statischen Eichzähler ein Phasen-drehglied geschaltet werden, welches die Ausgangsspannung

*Mess- und Prüfschaltungen für phasenfolge-unabhängige Messung der Blindlast*

Tabelle VI

Prüfling Netz	2 Messwerke, 180° Abgleich (Fig. 1)		3 Messwerke, 180° Abgleich (Fig. 2)		3 Messwerke, 180° Abgleich (Fig. 3)	
	$\Delta 3$ -Leiternetz		$\Delta 3$ -Leiternetz		$\Delta 4$ -Leiternetz	
	symmetrische Last	einseitige Last	symmetrische Last	einseitige Last	symmetrische Last	einseitige Last
Normal	Eichzähler <sup>1)</sup> Schaltung nach 1.2.1 3 P-Aronschaltung 2 Messwerke, 60° Abgleich  Randbedingungen	Fig. 4  keine	symmetrisches Spannungs- $\Delta$	Fig. 4  $\sum I = 0$	symmetrisches Spannungs- $\Delta$	Aronschaltung nicht anwendbar
Eichzähler <sup>1)</sup> Schaltung nach 1.2.2 3 P-Schaltung 3 Messwerke, 90° Abgleich  Randbedingungen	Fig. 5  $\sum I = 0$	symmetrisches Spannungs- $\Delta$	Fig. 5  keine	symmetrisches Spannungs- $\Delta$	Fig. 6  keine	symmetrisches Spannungs- $\Delta$ Nullpunkt im Zentrum des $\Delta$
Eichzähler <sup>2)</sup> Schaltung nach 1.1.1 3 P-Aronschaltung 2 Messwerke, 180° Abgleich  Randbedingungen	Fig. 1  keine	2) keine	Fig. 1  $\sum I = 0$	keine	Aronschaltung nicht anwendbar	2) 2)
Eichzähler <sup>2)</sup> Schaltung nach 1.1.2 3 P-Schaltung 3 Messwerke, 180° Abgleich  Randbedingungen	Fig. 2  $\sum I = 0$	2) keine	Fig. 2  keine	2) keine	Fig. 3  keine	2) keine

<sup>1)</sup> Anschluss der Eichzähler in der richtigen Phasenfolge an die Netzzspannung.

<sup>2)</sup> Voraussetzung: Prüflings- und Eichzählermesswerke an die gleichen Phasen geschaltet.

gegenüber der Eingangsspannung bei gleichem Betrag um 90° zeitlich nachverschiebt.

Die Zeit-Leistungs-Methode nach c) kann bei stabilisierter Spannung für Wirkverbrauchsmessungen sowie für Blindverbrauchsmessungen nach 1.2 mit Ausnahme der Aronschaltung mit 60° Abgleich nach 1.2.1 ohne zusätzliche Einschränkungen verwendet werden, d. h. überall dort, wo auch Eichzähler mit 90° Abgleich eingesetzt werden. Die einschränkenden Bedingungen sind dieselben.

### 3. Wahl der zweckmässigen Schaltung der Normalien bei gegebener Prüflingsschaltung

Im Abschnitt 1 wurden die verschiedenen Zählerschaltungen bezüglich ihrer Beeinflussung durch unsymmetrische Netze spannungen beurteilt. Darunter sind solche Schaltungen, die die Belastung nur unter einschränkenden Randbedingungen richtig messen. Müssen nun solche Zähler im Netz überprüft werden, so stellt sich die Frage der zweckmässigen Schaltung der verwendeten Normalien. Dabei sind folgende Kriterien zu beachten:

3.1 Ist die Schaltung von Prüfling und Normal *identisch*, dann wird der Zähler im Netz ohne einschränkende Randbedingungen richtig überprüft, auch wenn die betreffende Schaltung die Belastung im Netz nur unter einschränkenden Bedingungen fehlerfrei misst. Dies ist z. B. der Fall, bei der Überprüfung von 3P + 0-Blindlastzählern nach 1.2.3 durch identische Eichzähler.

3.2 Ist die Schaltung von Prüfling und Normal *nicht identisch*, und Prüfling und Normal haben nicht dieselbe Abhängigkeit von der Unsymmetrie der Netze spannungen, dann wird der Zähler im Netz bei 1-phasiger Last nicht richtig überprüft. Dies ist z. B. der Fall, wenn 3P-Aronzähler für Blindverbrauch nach 1.2.1 bei 1-phasiger Belastung mit 3P-Eichzählern nach 1.2.2 überprüft werden.

Um die Zweckmässigkeit der gewählten Schaltung der Normalien bei gegebener Prüflingsschaltung im Netz beurteilen zu können, sind die Randbedingungen bei der Überprüfung der Zähler im Netz in den Tabellen IV...VI zusammengestellt. Auf der ersten Zeile sind die Prüflingsschaltungen und in der ersten Kolonne die verfügbaren Schaltungen der Eichzähler aufgeführt. In den zugehörigen Matrix-Feldern sind die Randbedingungen der Prüfschaltungen angegeben. Tabelle IV beinhaltet die Prüflingsschaltungen zur Messung des Wirkverbrauchs, Tabelle V die Prüflingsschaltungen zur phasenfolge-abhängigen Messung des Blindverbrauchs. In Tabelle VI sind die Prüflingsschaltungen zur phasenfolge-unabhängigen Messung des Blindverbrauchs angegeben.

### 4. Zu erwartende Zusatzfehler beim Überprüfen von Zählern im Netz, wenn einschränkende Randbedingungen vorhanden sind

Die Kenntnis der Zusatzfehler ist dann von Interesse, wenn Zähler im Netz mit Eichzählern überprüft werden müssen, die unter das Kriterium 3.2 fallen. Um die Aussagekraft des gemessenen Resultats beurteilen zu können, muss die durch die unzweckmässige Schaltung des Eichzählers verursachte Messunsicherheit bekannt sein.

Da diese Zusatzfehler in komplizierter Weise von der Unsymmetrie der Netze spannung abhängen, kann kein allgemeingültiges Rezept zu ihrer Berechnung angegeben werden. Es wird nachfolgend versucht, aufgrund der in Lit. [1] zitierten Untersuchungen im Niederspannungs-Drehstrom-Vierleiter netz ein Fehlerband für die zu erwartende Messunsicherheit der Ergebnisse zu ermitteln.

Aus 10 Einzelmessungen wurde der Mittelwert der Spannungsunsymmetrien berechnet. Ist die gewählte Messmethode abhängig von der Grösse der Netze spannungs-Unsymmetrie, so sind unter Zugrundelegung der Mittelwerte folgende maximale Messunsicherheiten zu erwarten:

$$\begin{aligned} \text{bei } \sin \varphi = 1 & \text{ ca. } \pm 2 \% \\ \text{bei } \sin \varphi = 0,5 & \text{ ca. } \pm 4 \% \end{aligned}$$

Es sei aber nochmals daran erinnert, dass diese Zusatzfehler nur bei 1-phasigen Messungen auftreten können. Bei der Messung der allseitigen Blindlast sind bei keiner der angegebenen Schaltungen einschränkende Randbedingungen vorhanden.

### Literatur

- [1a] F. Tschappu: Zusatzfehler beim Messen des Blindverbrauchs in Drehstrom-4-Leiternetzen bei Verwendung von Blindstromzählern in Kunsts chaltung. Bull. SEV 59(1968)17, S. 800...807.
- [1b] M. Angst und F. Tschappu: Ermittlung der Zusatzfehler beim Messen des Blindverbrauchs mit Blindverbrauchszählern in Kunsts chaltung auf Grund von Messungen der Unsymmetrie im Niederspannungsnetz 220/ 380 V. Bull. SEV 60(1969)7, S. 303...309.
- [2] S. Frank: Drehstrom-Arbeitszählung in Hochspannungsanlagen. ETZ 75 (1954)17, S. 551...556.

### Adresse des Autors:

Dr. F. Tschappu, LGZ Landis & Gyr Zug AG, 6301 Zug.